

## بررسی عددی شبیه‌سینه دیوارهای ساحلی در مواجهه با امواج تصادفی دریایی با استفاده از نرم‌افزار SACS

رامین وفایی‌پور سرخابی<sup>۱</sup>، محمدحسین امین‌فر<sup>۲</sup> و محمدعلی لطف‌اللهی یقین<sup>۳\*</sup>

<sup>۱</sup>دانشجوی دکتری تخصصی دانشکده فنی - مهندسی عمران، دانشگاه تبریز

<sup>۲</sup>استادیار دانشکده فنی - مهندسی عمران، دانشگاه تبریز

<sup>۳</sup>دانشیار دانشکده فنی - مهندسی عمران، دانشگاه تبریز

### چکیده

یکی از مهمترین بارهای وارد بر دیوارهای ساحلی، بار ناشی از امواج دریایی در حالت طوفانی می‌باشدند. سطح آزاد آب، در این حالت تصادفی و تابع زمان بوده، لذا می‌تواند بصورت سری زمانی یا طیفی نشان داده شود. با برخورد امواج تصادفی، فشار وارد بر دیوار نیز بصورت سری زمانی و تصادفی بوده و در نتیجه نیروهای داخلی بوجود آمده در دیوار، مانند لنگر خشمی یا نیروی برشی، توزیع زمانی نامنظم خواهد داشت. با تغییر شبیه‌سینه دیوار، می‌توان نیروهای داخلی بوجود آمده دیوار را بررسی و به مقادیر حداقل دست یافت. در این راستا، دیوار در محدوده زاویه‌های ۴۵ درجه مثبت تا ۴۵ درجه منفی نسبت به محور قائم، با تغییرات ۵ درجه‌ای (در محدوده تأثیرگذار با تغییرات ۱ درجه) در نرم‌افزار SACS مدلسازی شده و تحت تأثیر امواج قرار داده شد. به منظور بررسی دقیق، وزن سازه و فشار هیدرولاستاتیکی در نظر گرفته شده است. نتایج حاصله نشان می‌دهند که وقتی دیوار با زاویه ۱۵ درجه مایل در امتداد موج قرار می‌گیرد، لنگر در پای دیوار کمترین مقدار را داشته، که می‌تواند در طراحی مورد استفاده قرار گیرد.

**واژگان کلیدی:** دیوارهای ساحلی، امواج تصادفی، تحلیل پاسخ دینامیکی موج، شبیه‌سینه دیوار، نرم‌افزار SACS.

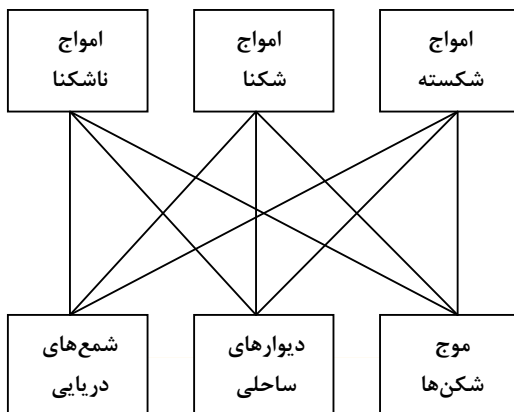
**۱- مقدمه**  
دیوارهای ساحلی به منظور حفاظت سواحل در برابر امواج و جلوگیری از ورود آب به سواحل و به منظور بکارگیری مناسب از زمین‌های ساحلی طراحی و ساخته می‌شوند. به منظور طراحی بهینه، در مهندسی سواحل بایستی اطلاعات مناسبی از بارهای وارد و رفتار سازه‌های ساحلی در برایر این بارها را داشت.

مهمترین بارهای وارد بروی دیوارهای ساحلی، امواج دریا می‌باشد که مسلمان در حالت طوفانی شدت آن بیشتر خواهد بود. پارامترهای اصلی هیدرودینامیکی موج شامل ارتفاع، پریود و طول موج می‌باشند. با توجه به رفتار تصادفی موج، نمی‌توان رفتار سازه‌های ساحلی را فقط با تکیه بر تئوری‌های موجود به طور دقیق معین نمود، لذا در این موارد، استفاده از مطالعات آزمایشگاهی و همچنین استفاده از نرم‌افزارهای معتبر حائز اهمیت خواهد بود. در طراحی دیوارهای ساحلی، با توجه به اینکه لنگر پای دیواره، یکی از تأثیرگذارترین عوامل طراحی می‌باشد لذا تعیین آن، به هنگام تابش امواج تصادفی، کمک شایانی به طراحی خواهد نمود [۱].

باتوجه به امکان شبیدار نمودن دیوار، می‌توان از دیوارهای ساحلی شبیدار به منظور طراحی بهینه استفاده نمود. بکارگیری دیوارهای قائم، نیروی ضربه‌ای موج را به دلیل انعکاس کامل



شکل ۱- برخورد موج با دیوار ساحلی [۳]



شکل ۳- مطالعه تأثیر نیروی امواج بر روی سازه‌های ساحلی

$$P_1 = \frac{1 + C_r}{2} \cdot \frac{\rho g H_i}{\operatorname{Cosh}\left(\frac{2\pi d}{L}\right)} \quad (3)$$

$$M = M_{HS} + M_{HD} = \frac{1}{6} \rho g d^3 + M_{HD} \quad (4)$$

در معادلات فوق  $\rho$ ، جرم حجمی آب،  $d$  عمق آب در جلوی دیوار،  $g$  شتاب نقل،  $L$  طول موج و  $M_s$  لنگر حاصل از نیروی هیدرودینامیکی آب،  $M_{HD}$  لنگر حاصل از نیروی هیدرودینامیکی (لنگر حاصل از ضربه امواج)،  $p_1$  اضافه فشار در سطح آب در حالت برخورد موج با نقطه اوج خود و  $M$  لنگر کل در پای دیوار می‌باشند که می‌توان برای بدست آوردن  $M$  از دیاگرام‌های ارائه شده توسط Rundgren استفاده نمود که در شکل (۵)، آورده شده‌اند.

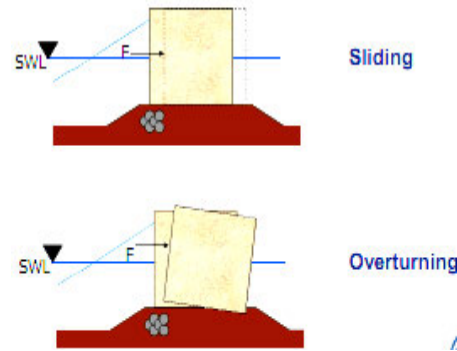
تئوری Minikin در سال ۱۹۶۳، برمبانی مشاهدات تجربی بر روی دیوارهای بزرگ مقیاس، برای امواج منظم ارائه شده است. روابط (۱۰)، (۱۱) و (۱۲) و شکل (۶) دیاگرام فشار موج توسط ایشان، ارائه شده‌اند [۲].

$$p_{\max} = 101 \gamma d (1 + d/h) H / L \quad (5)$$

$$M = 8H^2 d \quad \text{برای } \frac{H}{L} < 0.045 \quad (6)$$

$$M = 12.5H^3 \quad \text{برای } \frac{H}{L} > 0.045 \quad (7)$$

در معادلات فوق  $H$  ارتفاع موج و  $L$  طول موج در آب عمیق بر حسب فوت می‌باشند.



شکل ۲- لغزش و واژگونی در دیوار [۳]

امواج روی سازه‌ها، در سه حالت ناشکنا، شکنا و شکسته وارد می‌شوند که می‌توان با عدد تشابه شکست (ک)، بصورت زیر بیان نمود [۳].

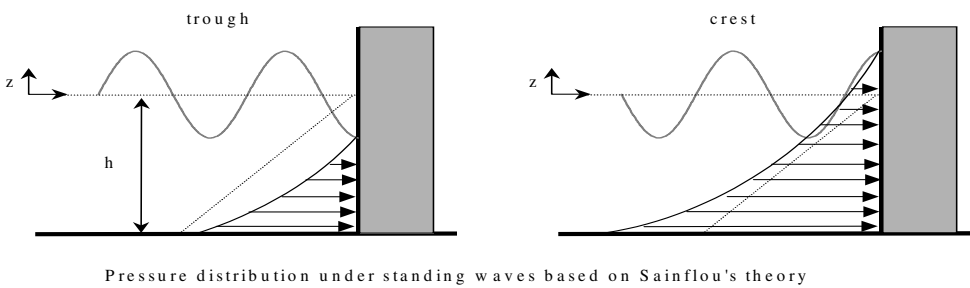
$$\zeta = \left( \frac{H_i}{L_o} \right)^{-0.5} \cdot \operatorname{tg} \theta \quad (1)$$

که  $H_i$  ارتفاع موج تابشی روی سازه،  $L_o$  طول موج در آب عمیق و  $\theta$  زاویه شیب دیواره است. در دیوارهای با شیب کم و نزدیک به قائم معمولاً انعکاس اتفاق می‌افتد و ضریب انعکاس ( $C_r$ ) نزدیک یک خواهد بود که در این حالت موج از نوع ناشکنا و در حالت با شیب زیاد دیوار  $C_r$  نزدیک صفر بوده و حالت موج شکسته و در حالت بینابین، موج شکنا خواهد بود [۳ و ۴].

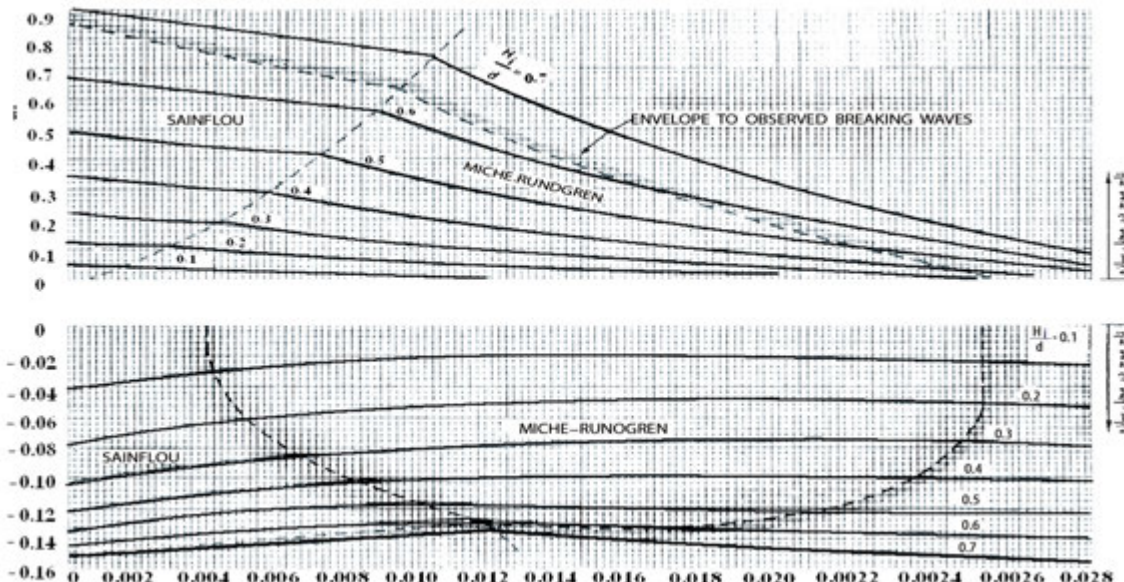
$$C_r = \frac{H_r}{H_i} \quad (2)$$

که  $H_r$  ارتفاع موج برگشتی از جلوی سازه می‌باشد. برای بررسی تأثیر نیروی امواج بر روی سازه‌های ساحلی مطابق الگوریتم شکل (۳)، تأثیر هر سه حالت امواج ناشکنا، شکنا و امواج شکسته مورد مطالعه قرار می‌گیرد [۳].

اولین مطالعات، به منظور طراحی دیوارهای ساحلی توسط Sainflou در سال ۱۹۲۸ انجام گرفته است که تئوری امواج ساده را برای محاسبه عملکرد هیدرودینامیکی موج روی دیوارها، ارائه داده است و این مطالعات توسط Rundgren در سال ۱۹۵۸ با بررسی‌های آزمایشگاهی تکمیل گردید. نحوه تأثیر موج و فشار وارد در شکل (۴) نشان داده شده است. معادلات (۳) و (۴)، معادلات Sainflou برای محاسبه تأثیر امواج ناشکنا روی دیوارهای قائم را ارائه می‌دهد [۴ و ۵].



شکل ۴- نحوه تأثیر امواج روی دیوارهای قائم براساس تئوری Sainflou [۴ و ۵]



شکل ۵- دیاگرام‌های Rundgren برای محاسبه لنگر خمی حاصل از تأثیر امواج روی دیوارهای قائم [۵]

$$M_{Goda} = l_{h;Goda} F_{h;Goda} + l_{v;Goda} F_{v;Goda} \quad (8)$$

$$F_{h;Goda} = \frac{1}{2}(p_1 + p_4)R_c^* + \frac{1}{2}(p_1 + p_3)(d + d_c) \quad (9)$$

$$F_{v;Goda} = \frac{1}{2} P_u B_c \quad (10)$$

$$l_{h;Goda} = d + d_c + \frac{R_c^*(p_1 + 2p_4) - (d + d_c)^2(p_1 + 2p_3)}{3R_c^*(p_1 + p_4) + 3(d + d_c)(p_1 + p_3)} \quad (11)$$

$$l_{v;Goda} = \frac{1}{6} B_c \quad (12)$$

در معادلات فوق:

$$\eta^* = 0.75H_i ,$$

در سال ۱۹۷۴، تئوری اساسی تأثیر امواج بروی دیوارهای ساحلی را ارائه نمود. معادلات (۵) تا (۹)، با فرض توزیع خطی برای فشار موج و مقدار ماکریزم  $P_1$  در سطح ایستایی، استوار است [۱]. شکل (۷) دیاگرام توزیع فشار با استفاده از تئوری Goda را نشان می‌دهد. همان‌طوری که از شکل ملاحظه می‌شود امواج در نظر گرفته شده حالت تصادفی ندارد و برای حالت حداقل امواج منظم در نظر گرفته شده است. همچنین با استفاده از این تئوری می‌توان فشار بالابرندۀ ناشی از امواج برای دیوارهای ساخته شده روی بستر نفوذپذیر را در نظر گرفت.

لنگر پای دیوار با استفاده از تئوری Goda با استفاده از معادلات (۵) تا (۹) بیان می‌شوند.

سال ۲۰۰۵ مطالعات آزمایشگاهی را بر روی دیوارهای شبیدار و تأثیر زبری بر مقدار نیروی تأثیر امواج انجام داد [۶]. Muni Reddy در سال ۲۰۰۵، به منظور کاهش اثرات موج بر روی دیوارهای ساحلی از موج‌شکن‌های مستغرق، در جلوی دیوار استفاده نموده و کاهش اثرات آن بر بنیانی نسبت ارتفاع موج‌شکن مستغرق به ارتفاع دیوار را مشاهده نمود [۷]. Jeng در سال ۲۰۰۵ نیز همانند Muni Reddy استفاده از موج‌شکن‌های مستغرق متخلخل در جلوی دیوار استفاده کرد [۸].

Zanuttigh در سال ۲۰۰۵، تأثیر استفاده از انواع مصالح بکار برده شده روی دیوار را در کاهش تأثیرات موج مورد مطالعه قرار داد [۹]. Pullen در سال ۲۰۰۹، با استفاده از ابزارهای اندازه‌گیری دقیق، مقدار خمس بوجود آمده بر روی دیوار ساحلی Edinburgh Wallingford در Zanuttigh در سال ۲۰۱۰، مطالعات آزمایشگاهی وسیعی بر روی دیوارهای با شیب ملایم در مواجهه با امواج تصادفی [۱۱] و Anand در سال ۲۰۱۰، تأثیر امواج تصادفی بر روی دیوارهای انحنای را بصورت عددی مورد بررسی قرار داد [۱۲].

در زمینه طراحی و مدل سازی دیوارهای ساحلی بسته‌های نرم‌افزاری جدیدی ارائه شده اند. از شاخص‌ترین این نرم افزارها HYDRO PRO T HDMS، SACS و OIAC می‌توان به شاهره نمود. علیرغم تحقیقات وسیع انجام یافته روی دیوارهای ساحلی، در خصوص تأثیرات قابل توجه شبیدار نمودن دیوار در جهت راستای موج و رو به موج، به منظور تعیین نیروهای حاصل از امواج تصادفی، با بکارگیری نرم‌افزارهای روز بخصوص نرم‌افزار SACS، تحقیقات زیادی صورت نگرفته است.

### ۳- امواج بر روی دیوارهای ساحلی

در حالت کلی امواج به دو دسته امواج منظم و تصادفی طبقه‌بندی می‌شوند که امواج تصادفی می‌توانند به وسیله ترکیبی از امواج منظم تعریف شوند. امواج دریا، در حالت طوفانی از نوع امواج تصادفی بوده و تراز سطح آب، به صورت غیرمنظم می‌باشد. پارامترهای هیدرولیکی موج تصادفی در شکل (۸)، تعریف شده است. در این حالت برای تعیین ارتفاع و پریود موج از روش موج به موج با تقاطع صفر روبه بالا استفاده می‌شود. امواج تصادفی را می‌توان با استفاده از تحلیل‌های طیفی روی امواج ثبت شده مورد بررسی قرار داد که در این راستا می‌توان با چگالی طیفی توجیه جامعی از امواج تابیده شده در شرایط دریا را بیان نمود [۱۶].

$$p_1 = 0.5(\lambda_1 \alpha_1 + \lambda_2 \alpha^*) \rho g H_i ,$$

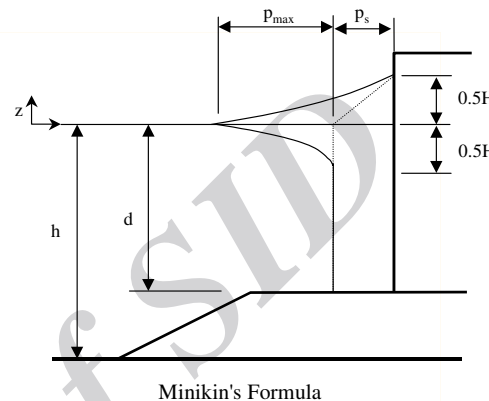
$$p_3 = \alpha_3 p_1$$

$$p_4 = \alpha_4 p_1 ,$$

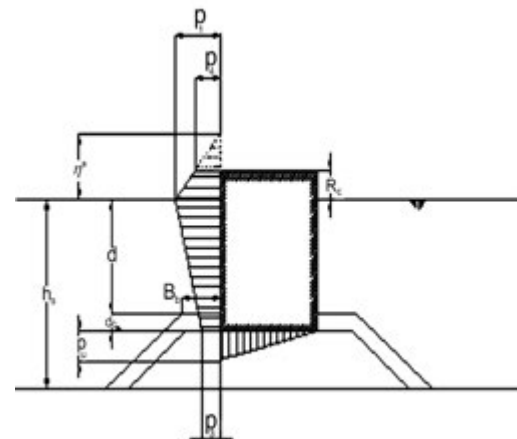
$$p_u = 0.5 \alpha_1 \alpha_3 \rho g H_i$$

می‌باشد که ضرایب  $\alpha$ ، ضرایب شرایط موج و ضرایب  $\lambda$  ضرایب

شرایط هندسه سازه و  $R_c^*$  تعریف می‌شود [۱].

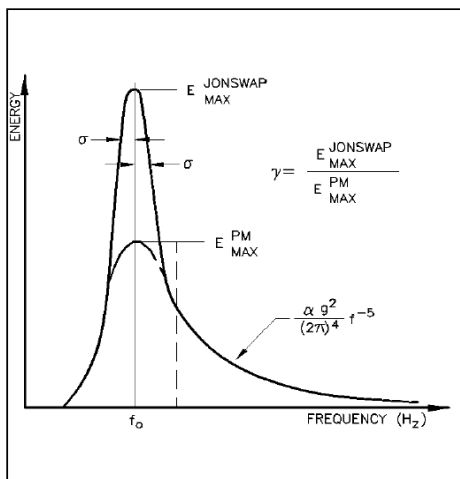


شکل ۶- دیاگرام فشار موج

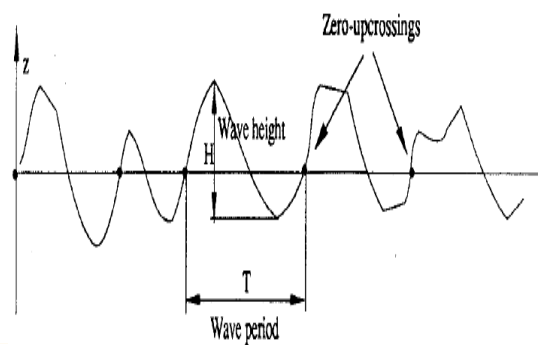


شکل ۷- توزیع فشار با استفاده از تئوری Goda [۱]

Shuto در سال ۱۹۷۲ تئوری موج دوبعدی برای محاسبه نیروی حاصل از امواج دوبعدی با استفاده از تئوری لاگرانژ را ارائه نمود که این تئوری می‌تواند لنگر پای دیوار را هم در حالت شکنا و هم ناشکنا ارائه دهد [۴]. مطالعات عددی اندرکنش بین دیوار و امواج توسط Ahrens در سال ۱۹۹۳ و Vander Meer در سال ۱۹۹۴ و Schütrumpf, et. al. در سال ۱۹۹۵ وارد از طرف امواج یافته است [۳] و Neelamani در



شکل ۹- طیف موج [۱۷] JONSWAP



شکل ۸- شماتی تراز سطح آب بر حسب زمان

#### ۴- روش تحقیق

در این تحقیق مدل یک دیوار ساحلی به ابعاد  $1m \times 1m$  و  $1cm$  از جنس فولادی که در کف گیردار و در کناره‌ها ضخامت  $1cm$  است در نظر گرفته شده است که این دیوار می‌تواند تحت زوایای مختلف نسبت به محور قائم قرار گیرد. دلیل در نظر گرفتن طول واحد برای دیوار، طول زیاد دیوارهای ساحلی نسبت به ابعاد مقطع آنها می‌باشد و اینگونه سازه‌ها، معمولاً در امتداد سواحل ساخته می‌شوند، بنابراین رفتار طول واحد می‌تواند بیانگر رفتار کل دیوار باشد.

مدل در نظر گرفته شده، تحت تابش امواج تصادفی به مدت معینی قرار می‌گیرد و نمودار تاریخچه زمانی نیم‌رخ سطح آب و نیرو و لنگر پای دیوار ترسیم می‌گردد. مقادیر حداکثر لنگرها در هر مورد استخراج گردیده و باهم مورد مقایسه قرار می‌گیرند. به منظور بدست آوردن اندرکنش بین دیوار و امواج از نرم‌افزار SACS استفاده شده است.

#### ۴- نرم‌افزار SACS

SACS یکی از قوی‌ترین و پرکاربردترین نرم‌افزارهای تحلیل و طراحی سکوهای دریایی تحت شرایط بارگذاری مختلف می‌باشد. با توجه به تعریف مسئله، اندرکنش بین دیوار و امواج در زیر شاخه برنامه تحلیل پاسخ دینامیکی امواج خواهد بود. ساختار کلی نرم افزار در شکل (۱۰) و روند پیشیرد تحلیل پاسخ دینامیکی در شکل (۱۱) نشان داده شده‌اند [۱۸].

برای مبتدا، طیف‌های مختلفی نظری طیف Bretschneider در سال ۱۹۵۹، P-M در سال ۱۹۶۴ و TMA در سال ۱۹۸۵ و طیف JONSWAP در سال ۱۹۷۴ از روی داده‌های ثبت شده تعریف شده‌اند [۱۷ و ۱۵ و ۱۶]. طیف JONSWAP را یکی از پرکاربردترین طیف‌ها برای طراحی در سازه‌های ساحلی معرفی کرده است [۱۷]. از طرفی با توجه به شرایط طبیعی آبهای ایران، طیف‌های JONSWAP کاربرد بیشتری در طراحی سازه‌های ساحلی کشور را می‌تواند داشته باشد [۱۶]. تحقیقات جدیدی درباره ساخت طیف مناسب با شرایط اقلیمی ایران شروع شده است ولی در نبود این طیف می‌توان از طیف‌های مذکور استفاده نمود که در تحقیق حاضر از طیف JONSWAP استفاده شده است.

$$S(f) = \frac{\alpha g^2}{(2\pi)^4 f^5} e^{-1.25(f_p/f)^4} \gamma^a \quad (13)$$

در این طیف، ضریب  $\gamma$  معمولاً مقادیری بین  $1/6$  تا  $1/4$  دارد اما عدد  $3/3$  توصیه می‌شود. ضریب  $\gamma$ ، نسبت چگالی در فرکانس حداکثر برای طیف JONSWAP به طیف P-M می‌باشد. در معادله (۱۳)،

$$a = e^{-[(f-f_p)/(2\sigma^2 f_p^2)]}$$

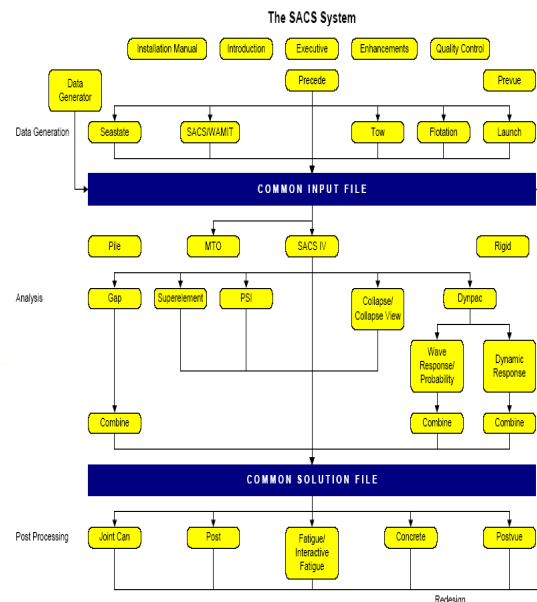
$$f_p = \frac{3.5g}{W} \left( \frac{gF}{W^2} \right)^{-0.33} \quad \text{و} \quad \alpha = 0.076 \left( \frac{gF}{W^2} \right)^{-0.22},$$

می‌باشند. در معادلات فوق  $F$  طول موجگاه  $W$  سرعت باد در تراز  $19/5$  متری،  $f$  فرکانس و  $f_p$  فرکانس حداکثر می‌باشد.

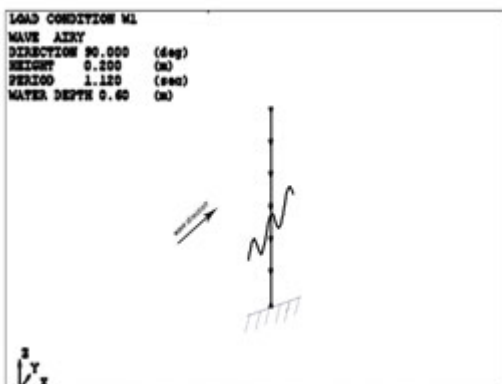
در جدول (۱)، مشخصات موج، آمده است. این مشخصات با توجه به شرایط محیطی حاکم بیان می‌شوند که پارامترهای ورودی موج می‌باشند. در کارهای عملی معمولاً پریود موج ۱ الی ۱۰ ثانیه بوده و پریود ۲/۵ ثانیه برای شرایط سواحل ایران مناسب می‌باشد و با توجه به تشابه عدد فرود و در نظر گرفتن اشل ۱ به ۵، پریود موج اعمالی ۱/۱۲ ثانیه در نظر گرفته شده است.

جدول ۱- مشخصات موج ورودی

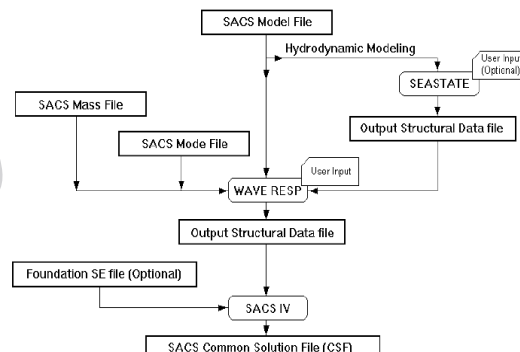
۲۰ سانتی متر	ارتفاع موج
۶۰ سانتی متر	ارتفاع آب
۱/۱۲ ثانیه	پریود موج منظم
JONSWAP	طیف موج
۳ پارامتر	در طیف
۱۵۰ و ۳۰۰ ثانیه	طول مدت اعمال موج
۰/۰۲ ثانیه	گام زمانی
۰/۱۴۲ پارامتر	C در طیف



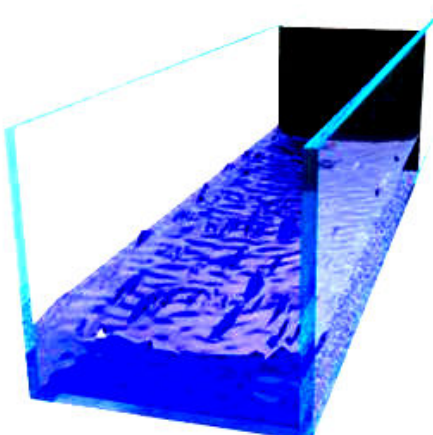
شکل ۱۰- ساختار کلی نرم افزار SACS [۱۸]



شکل ۱۲- مدل دیوار در نرم افزار



شکل ۱۱- روند پیشبرد تحلیل پاسخ دینامیکی در نرم افزار SACS [۱۸]



شکل ۱۳- نمای سه بعدی دیوار قائم

#### ۴-۲- مدل استفاده شده در نرم افزار

مدل هندسه دیوار، در زیر مجموعه SACINP، وارد می‌شود. در این قسمت علاوه بر معرفی هندسه سازه، بارگذاری اولیه، نظیر وزن سازه، حالت سکون دریا و موج منظم معرفی می‌گردد. این اطلاعات در قسمت تحلیل پاسخ دینامیکی موج مورد استفاده واقع می‌شوند. در شکل (۱۲)، مقطع عرضی مدل ایجاد شده و در شکل (۱۳) نمای سه بعدی دیوار ملاحظه می‌شود. به منظور تحلیل پاسخ دینامیکی موج<sup>۱</sup>، ابتدا تحلیل استاتیکی<sup>۲</sup> و سپس تحلیل مودال<sup>۳</sup> صورت می‌گیرد.

<sup>1</sup> Wave Response<sup>2</sup> Linear Static Analysis<sup>3</sup> Extract Mode

پروفیل سطح آب مطابق شکل های (۱۷) و (۱۸) برای طول مدت اعمال موج ۳۰۰ ثانیه با گام های ۰/۱۵ و ۰/۰۲ ثانیه و در شکل های (۱۹) و (۲۰) نمودار تاریخچه زمانی لنگر خمشی و نیروی برشی، برای طول مدت اعمال موج ۳۰۰ ثانیه با گام ۰/۰۲ ثانیه بدست آمده اند.

با مقایسه نمودار تاریخچه زمانی سطح آب (شکل (۱۸)) و تغییرات لنگر خمشی پای دیوار (شکل (۱۹)) می توان بصورت ظاهری ملاحظه نمود که وقوع ماغزیزم های لنگر با حداکثرهای تراز سطح آب تطابق کاملاً خطی ندارد. در شکل (۲۱) و (۲۲) ملاحظه می شود که حداکثر فرکانس طیف سطح آب ۱ هرتز و حداکثر فرکانس طیف لنگر خمشی ۳/۶ هرتز می باشد. با توجه به اینکه از نتایج خروجی آنالیز مودال دیوار، فرکانس اصلی آن در مود اول ۳/۶۱ هرتز گردیده بود، ملاحظه می گردد که فرکانس غالب در پاسخ لنگر دیوار مربوط به فرکانس مود اول دیوار می باشد و علیرغم اینکه رفتار دیوار نسبت به تغییرات سطح آب خطی نبوده، لیکن با تقریب تابع تبدیل فرکانسی بین تغییرات سطح آب و لنگر خمشی پای دیوار، تعیین و در شکل (۲۳) ارائه گردیده است. در این شکل ملاحظه می گردد که پیک حریک در ازای فرکانس طبیعی سازه یعنی ۳/۶ هرتز اتفاق می افتد.

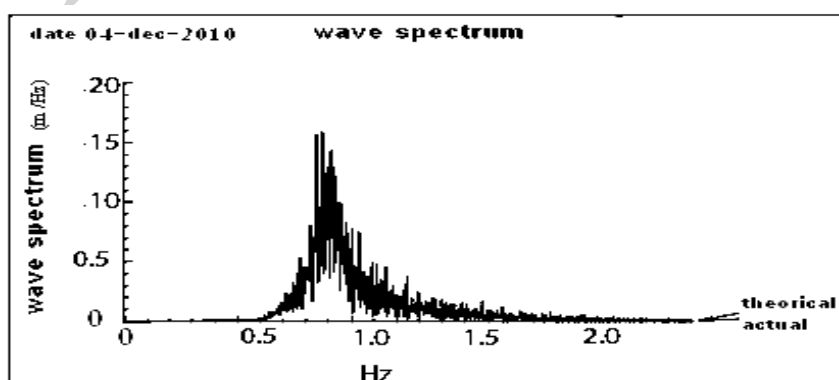
نرم افزار SACS، توانایی تحلیل استاتیکی و دینامیکی در بر امواج تصادفی را دارد. همانطوری که در شکل (۲۴) مشاهده می شود، نتایج حاصل از تحلیل دینامیکی نسبت به تحلیل استاتیکی بیشتر بوده و رفتار دقیق تری را ارائه می دهد. بنابراین در تحقیق حاضر تحلیل دینامیکی مبنای آنالیز قرار داده شده است.

طول مدت اعمال موج و گام زمانی مناسب، می تواند عامل مهمی در شبیه سازی موج، هم در سیستم های تولید موج آزمایشگاهی و هم در نرم افزار باشد. تحلیل های مختلف روی این دو عامل بر روی دیوار قائم، انجام یافته است. در این راستا، طول مدت تابش و گام زمانی های مختلفی در نرم افزار مورد بررسی قرار گرفت. به عنوان نمونه در شکل (۱۴) ملاحظه می شود که در ازای گام زمانی ۰/۱۵ ثانیه با مدت اعمال موج ۳۰۰ ثانیه، هم پوشانی مناسبی بین طیف تولیدی SACS و طیف JONSWAP وجود ندارد در صورتی که در شکل (۱۵)، با تغییر گام زمانی به ۰/۰۲ ثانیه هم پوشانی مطلوبی مشاهده می شود. این مستلزم به دلیل افزایش نقاط برداشت شده در یک طول موج می باشد. کاهش طول مدت اعمال موج باعث کاهش دقت افزایش آن موجب، بیشتر شدن زمان پردازش برنامه و تعداد داده ها می شود لذا بعد از تحلیل های زیاد و سعی و خطأ، طول مدت اعمال موج ۳۰۰ ثانیه با گام زمانی ۰/۰۲ ثانیه اعمال گردید.

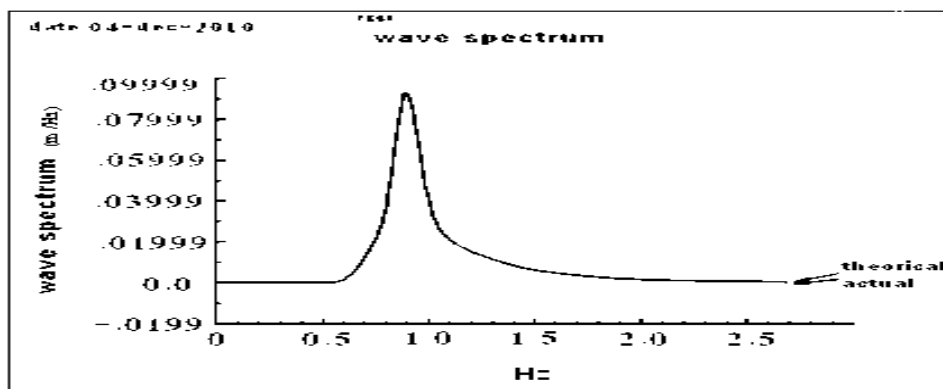
#### ۵- تحلیل های انجام یافته

برای بدست آوردن بهترین شبیه به منظور دستیابی به کمترین لنگر خمشی در دیوارهای ساحلی، انتخاب دیوار مطابق شکل (۱۶) انتخاب گردیده اند. در این شکل در صورتی که دیوار رو به موج باشد زاویه  $(\theta)$ ، در دیوار قائم، زاویه  $(0)$  و در دیوارهای در جهت امتداد موج  $(-\theta)$  درنظر گرفته می شود. مقادیر زوایای قرار گیری دیوار بین  $+45^{\circ}$  و  $-45^{\circ}$  درجه با تغییر ۵ درجه ای درنظر گرفته شده است. و در محدوده زاویه هایی که کاهش اثر موج روی لنگر مشاهده گردیده، تغییرات بازی هر ۱ درجه مورد بررسی قرار گرفته است.

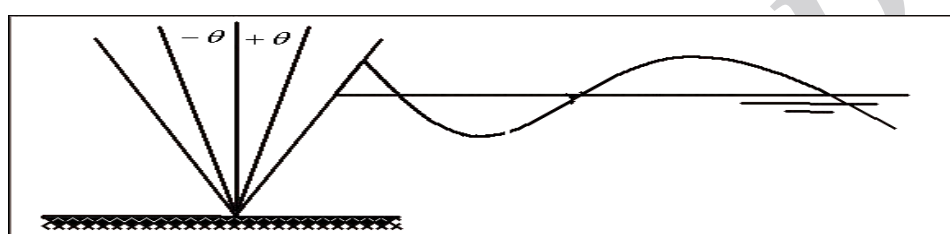
برای هر زاویه، تحلیل های استاتیکی، مودال و دینامیکی مجرزا صورت گرفته است.



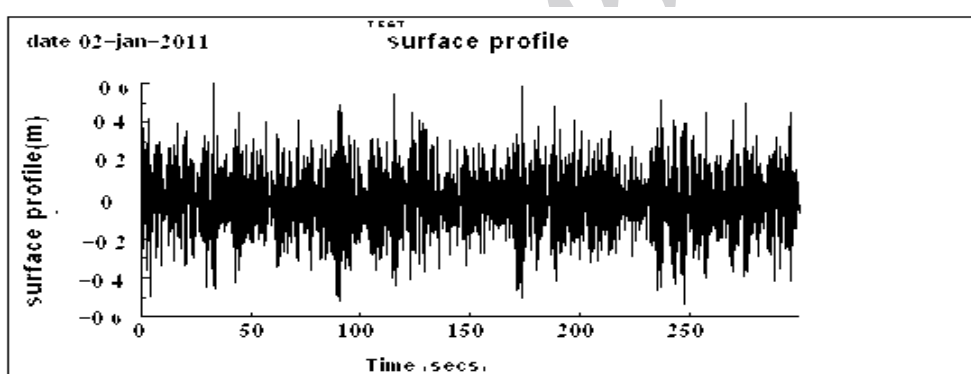
شکل ۱۴- طیف تئوری و ایجاد شده برای طول مدت اعمال موج ۳۰۰ ثانیه با گام زمانی ۰/۱۵ ثانیه



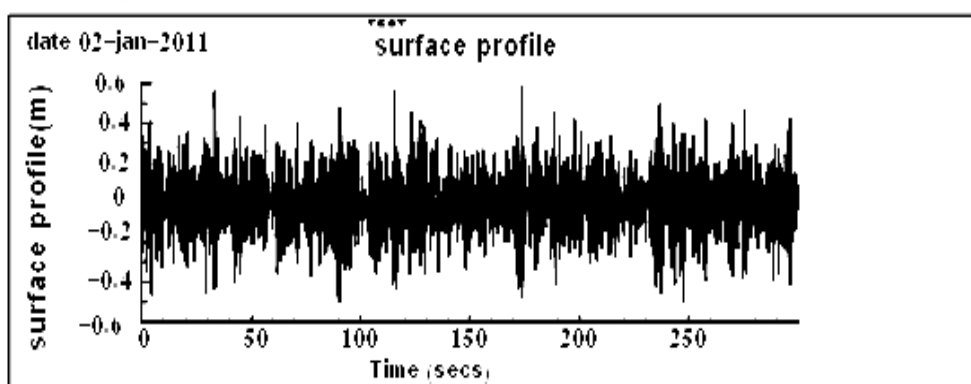
شکل ۱۵- طیف تئوری وایجاد شده برای طول مدت اعمال موج ۳۰۰ ثانیه با گام زمانی ۰/۰۲ ثانیه



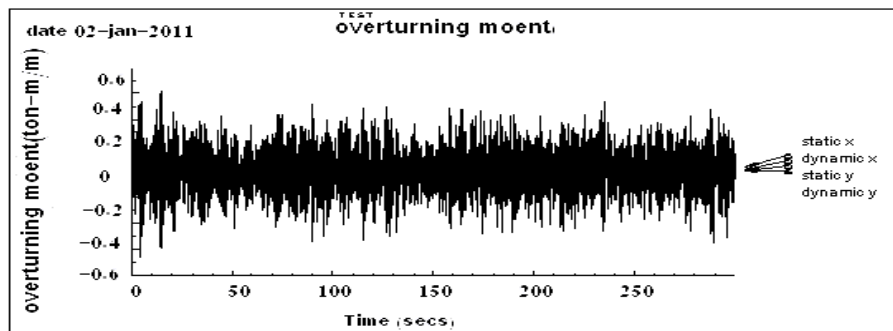
شکل ۱۶- نحوه قرارگیری دیوار در مقابل موج



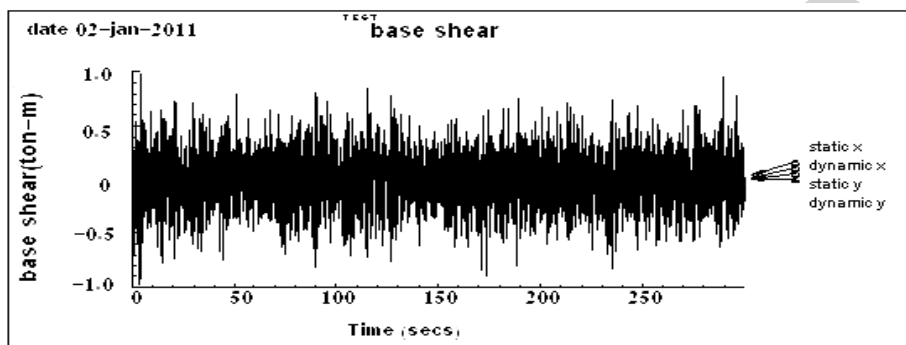
شکل ۱۷- پروفیل سطح آب (طول مدت اعمال موج ۳۰۰ ثانیه و گام ۰/۰۱ ثانیه)



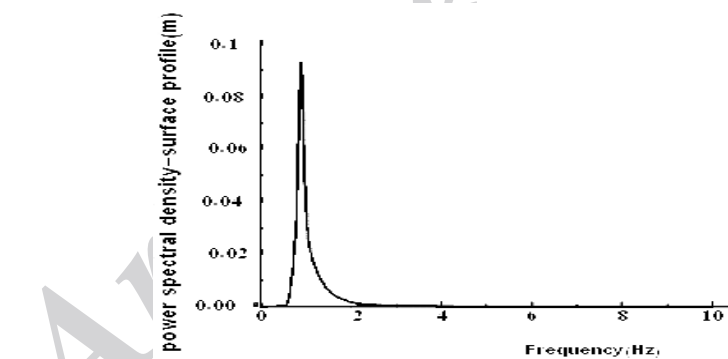
شکل ۱۸- پروفیل سطح آب (طول مدت اعمال موج ۱۵۰ ثانیه و گام ۰/۰۲ ثانیه)



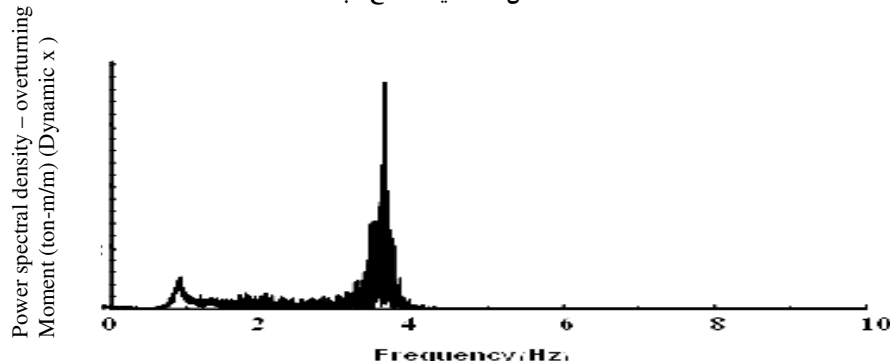
شکل ۱۹- لنگر خمثی پای دیوار (طول مدت اعمال موج ۳۰۰ ثانیه و گام ۰/۰۲ ثانیه)



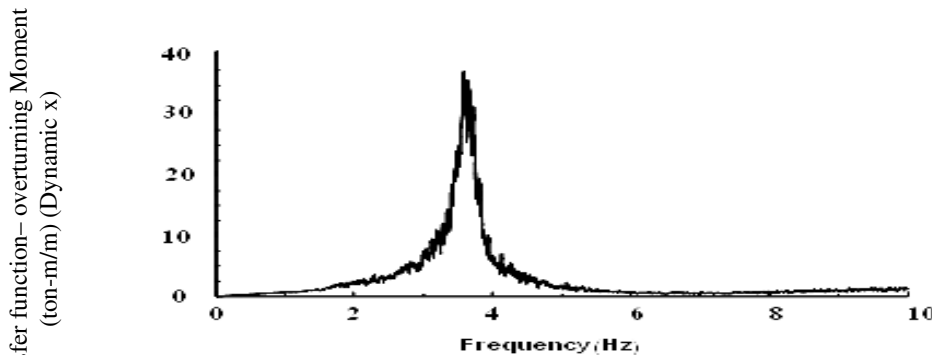
شکل ۲۰- نیروی برشی پای دیوار (طول مدت اعمال موج ۳۰۰ ثانیه و گام ۰/۰۲ ثانیه)



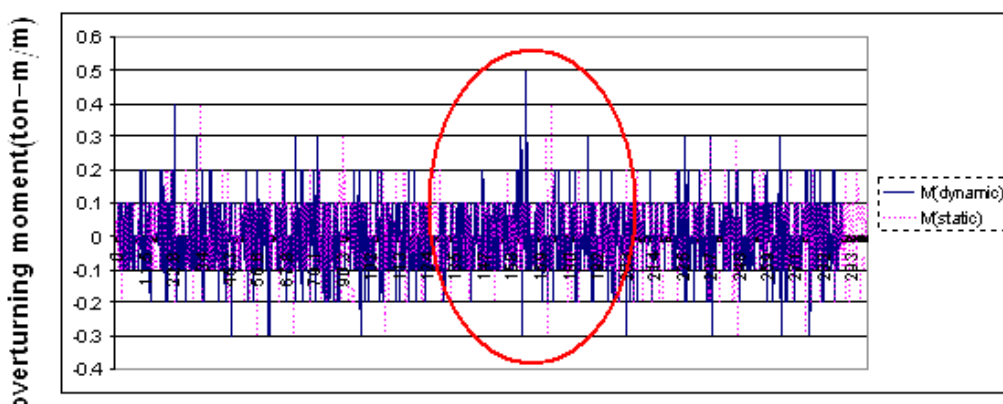
شکل ۲۱- طیف سطح آب



شکل ۲۲- طیف لنگر خمثی پای دیوار



شکل ۲۳- تابع تبدیل فرکانسی بین سطح آب و لنگر خمی پای دیوار



شکل ۲۴- لنگر پای دیوار در حالت استاتیکی و دینامیکی برای دیوار قائم

کمترین مقدار را خواهد داشت. به منظور ارائه دقیق از شبیب بهینه شکل (۲۷) نحوه قرار گیری دیوار با زاویه مورد نظر را نشان می‌دهد.

#### ۷- نتیجه‌گیری و پیشنهادات

اهم نتایج حاصل از تحقیق حاضر به شرح زیر خلاصه می‌شود.

۱- تعیین مدت تداوم اعمال موج و گام موج بایستی بگونه‌ای تعیین گردد که تطبیق مناسبی با طیف‌های معتبر داشته باشد. در این تحقیق مدت زمان اعمال موج ۳۰۰ ثانیه با گام زمانی ۰/۰۲ ثانیه، طیف JONSWAP را به خوبی پوشش می‌دهد.

۲- مقادیر لنگر پای دیوار در برابر امواج تصادفی حاصل از تحلیل دینامیکی، نسبت به تحلیل استاتیکی بیشتر و دقیق‌تر است.

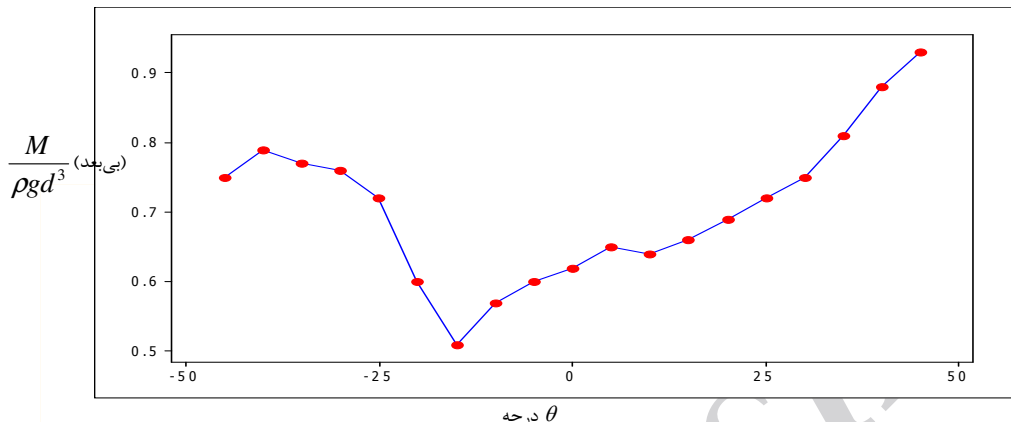
۳- لنگر خمی پای دیوار تحت اثر امواج عمدهاً در ازای فرکانس طبیعی خود سازه حداکثر واکنش خود را نشان می‌دهد. این موضوع از بررسی تغییرات تابع تبدیل فرکانسی لنگر نسبت به تغییرات سطح آب نیز قابل مشاهده است.

#### ۶- بحث و بررسی نتایج

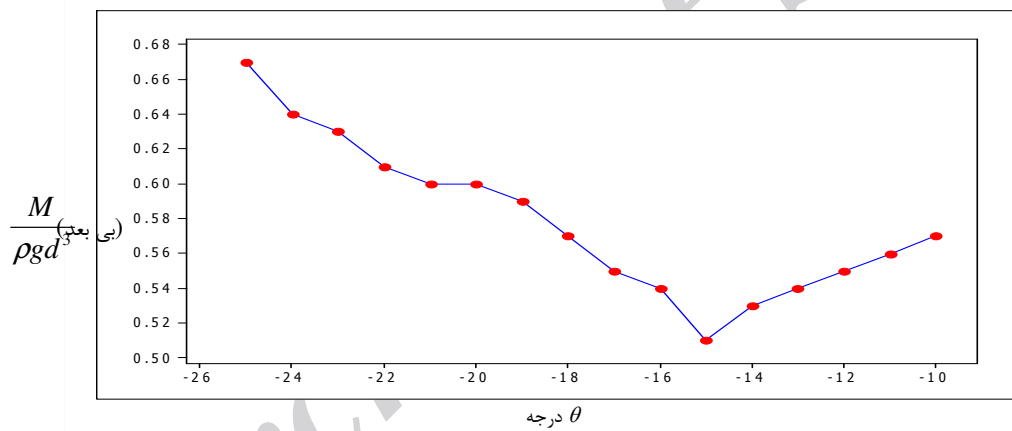
با توجه به مباحث فوق، به منظور تعیین بهینه‌ترین شبیب دیواری که موجب کاهش لنگر خمی پای دیوار می‌گردد، مدل‌های مربوط به دیوار بازی شیوه‌های مختلف و با گام‌های زاویه‌ای ۵ درجه بین  $+45^{\circ}$  و  $-45^{\circ}$ ، مورد تحلیل قرار گرفته و از هر سری زمانی استخراج شده مربوط به تابش موج تصادفی ۳۰۰ ثانیه تحلیل، مقادیر حداکثر لنگر خمی بdst آمداند. با توجه به اینکه در این نمودار محدوده زوایای بین ۲۵° تا ۱۰° درجه بیشترین کاهش در مقدار لنگر را نشان می‌دهند لذا این محدوده بصورت مجزا مجدداً با تغییرات ۱ درجه‌ای زاویه دیوار نسبت به محور قائم مورد تحلیل قرار گرفته و حداکثرهای استخراج شده از هر سری زمانی استخراج و نتیجه آن در شکل (۲۶) ارائه گردیده است. در هر دو شکل لنگر خمی در محور قائم بصورت بعد  $(\frac{M}{\rho gd^3})$  به ازای طول واحد دیوار نشان داده شده است.

همانطوری که از نمودار شکل (۲۶) مشاهده می‌شود در صورت قرار گرفتن دیوار با زاویه ۱۵ درجه نسبت به محور قائم و در امتداد موج، لنگر خمی حاصل از برخورد امواج تصادفی با دیوار

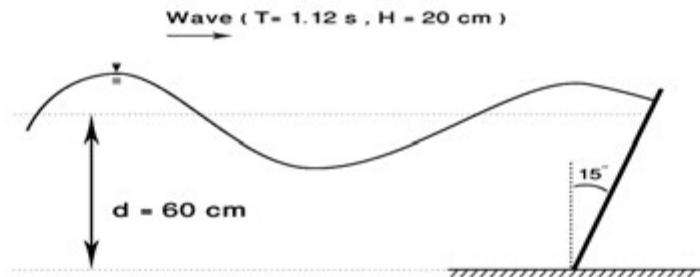
- ۵- با توجه به قابلیت تغییر هندسه دیوارهای ساحلی، می‌توان با اشکال مختلف از دیوارها، نظیر دیوارهای انحنیار و دیوارهای پوشش‌دار، تحقیق حاضر را بسط داد.
- ۴- بهترین زاویه قرارگیری دیوار به منظور دستیابی به حداقل لنگر پای دیوار ۱۵ درجه در راستای موج برآورد شده است.



شکل ۲۵- نمودار زاویه ( $\theta$ ) در مقابل  $\frac{M}{\rho gd^3}$  (قرارگیری دیوار بین زوایای  $+45$  و  $-45$  درجه با تغییر ۵ درجه‌ای)



شکل ۲۶- نمودار زاویه ( $\theta$ ) در مقابل  $\frac{M}{\rho gd^3}$  (قرارگیری دیوار بین زوایای  $-25$  تا  $-1$  درجه با تغییر زاویه ۱ درجه)



شکل ۲۷- دیوار با زاویه ۱۵ درجه مایل در امتداد موج، لنگر

- ۸ مراجع
- [11] Cuomo,G., Allsop, W., Takahashi, S., "Scaling Wave Impact Pressures on Vertical Walls", Coastal Engineering, Vol. 57, 2010, 604-609.
- [12] Ichikawa, M., Saitoh, T., Miao, G., "Theoretical Analysis of Wave and Structure interaction Around a composite-type coastal structures- A case Study of a Seawall and Detached Breakwaters", Journal of Hydrodynamics, Vol 22, 2010, 482-488.
- [13] Cuomo, G., Allsop, W., Bruce, T., Pearson, J., "Breaking Wave Loads at Vertical Seawalls and Break Waters", Coastal Engineering, Vol. 57, 2010, 424-439.
- [14] Ahand, K.V., Sundor, V., Sannasiraj, W., "Dynamic Pressures on Curved from Seawall Models under Random Waves", Journal of Hydrodynamics, Vol22, 2010, 538-544.
- [15] SACS 5.2 Users Guide, SACS Inc, 2005.
- [۱۶] آینه نامه طراحی و سازه های دریایی ایران، نشریه شماره ۱۳۸۵، ۳۰۰-۱
- [17] Sorensen, R.M., "Basic Wave Mechanic for Coastal and Ocean Engineers", John Wiley, New York, 1993.
- [۱۸] هوشیار، س.، "مبانی طرح و اجرای سکوهای دریایی"، فدک ایستاتیس، ۱۳۸۸
- [۱۹] وفایی پور، ر.، لطف اللهی یقین، م. ع.، امین فر، م. ح.، "تولید امواج نامنظم با استفاده از سیستم موج ساز لولایی"، دوازدهمین همایش صنایع دریایی ایران، زیباکنار، ۱۳۸۹
- [1] Goda, Y., "Random Seas and Design of Maritime structures", World scientific, 2000, 443-551.
- [2] Minkin, R. R., "Winds, Waves and Maritime structures", Studies in Harbor Making and in Protection of Coasts, 2<sup>nd</sup> Rev. Ed., Griffin, 1963, 224-304.
- [3] SPM, "Shore protection Manual", US Army Corps of Engineers, Coastal Engineering Research Center, Vicksburg MS. 1984
- [4] Neelamani, S., Schüttrumpf, H., Muttary, M., Oumeraci, H., "Prediction of Wave pressures on Smooth Impermeable Seawalls", Ocean Engineering, Vol26, 1999, 739-765.
- [۵] چگینی، و.، "راهنمای طراحی موج شکن ها"، شرکت جهاد تحقیقات و آبخیزداری، ۱۳۷۷
- [6] Neelamani, S., Sandhya, N., "Surface Roughness Effect of Vertical and Sloped Seawall in Incident Random Wave Fields", Ocean Engineering, Vol32, 2005, 395-416.
- [7] Muni Reddy, M. G., Neelamani, S., "Hydrodynamic Studies on Vertical Seawall Defended by Low-Crested Break Water", Ocean Engineering, Vol 32, 2005, 747-764.
- [8] Jeng, D. S., Schacht, C., Lemckret, C., "Experimental Study on Ocean Waves Propagation over a Submerged Ocean Engineering, Vol32, 2005, 2231-2240.
- [9] Zanuttigh, B., Vander Meer, W., "Wave Reflection from coastal structures in Design conditions", Coastal Engineering, Vol55, 2008, 771-779.
- [10] Pullen, T., Allsop, W., Pearson, J., "Field and Laboratory Measurements of Mean Overtopping and Spatial Distribution at vertical Seawall", Coastal Engineering, Vol. 56, 2009, 121-140.